

# ДИФРАКЦИОННЫЕ ОПТИЧЕСКИЕ ЭЛЕМЕНТЫ

Л.Л.Досколович, Н.Л.Казанский, В.А.Сойфер

## АНАЛИЗ КВАЗИПЕРИОДИЧЕСКИХ И ГЕОМЕТРООПТИЧЕСКИХ РЕШЕНИЙ ЗАДАЧИ ФОКУСИРОВКИ В ПРОДОЛЬНЫЙ ОТРЕЗОК

### Введение

Для получения оптического разряда в газе [1], в оптических системах звукозаписи и воспроизведения [2], для бесконтактных измерений в специализированных микроскопах [3] и многих других областях [4] требуются оптические элементы, фокусирующие лазерное излучение в продольный отрезок.

Для фокусировки излучения в продольный отрезок используются рассчитываемые в геометрикооптическом приближении дифракционные оптические элементы (ДОЭ), известные как фокусаторы [4-6]. В работе [7] для расчета ДОЭ, фокусирующего в продольный отрезок, применен итеративный алгоритм. Основным недостатком методов [4-7] является неравномерность распределения энергии, сфокусированной в  $\varepsilon$ -окрестности оптической оси. В настоящей работе предлагаются аналитический и итерационный методы расчета новых "квазипериодических" ДОЭ, фокусирующих излучение в отрезок оптической оси. На основе вычислительного эксперимента проводится сравнительный анализ работоспособности геометрикооптического и квазипериодического решений задачи фокусировки в продольный отрезок.

### Постановка задачи фокусировки

Предположим, что лазерный пучок с комплексной амплитудой

$$W_0(r) = \sqrt{I_0(r)} \exp[i\varphi_0(r)], \quad r \in [0, R], \quad (1)$$

где  $I_0(r)$  - интенсивность, а  $\varphi_0(r)$  - фаза освещающего пучка, падает на ДОЭ с круглой апертурой радиуса  $R$ . ДОЭ располагается в плоскости  $z=0$  (Рис.1) и преобразует падающее излучение в поле с комплексной амплитудой

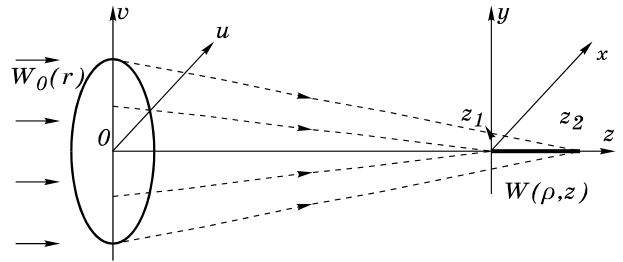
$$W(r) = W_0(r) \exp[i\hat{\varphi}(r)], \quad (2)$$

где  $\hat{\varphi}(r)$  - фазовая функция ДОЭ.

Требуется рассчитать фазовую функцию  $\hat{\varphi}(r)$ , обеспечивающую фокусировку падающего пучка в отрезок оптической оси с распределением интенсивности  $I(z)$ ,  $z \in [z_1, z_2]$ .

Для удобства представим  $\hat{\varphi}(r)$  в форме

$$\hat{\varphi}(r) = \varphi(r) - \varphi_0(r). \quad (3)$$



**Рис. 1. Геометрия задачи фокусировки в продольный отрезок.**

Представление (3) обеспечивает возможность расчета ДОЭ независимо от фазы  $\varphi_0(r)$  освещающего пучка. В дальнейшем изложении используется функция  $\varphi(r)$ , которая однозначно определяет фазовое пропускание ДОЭ.

### Расчет фазовой функции ДОЭ

Комплексная амплитуда  $W(\rho, z)$ ,  $\rho = \sqrt{x^2 + y^2}$  поля в фокальной области ДОЭ (см. Рис. 1) определяется через комплексное пропускание ДОЭ  $\exp[i\varphi(r)]$  на основе интеграла Френеля-Кирхгофа [8,9]

$$W(\rho, z) = \frac{k}{z} \exp\left(i \frac{k\rho^2}{2z}\right) \times \int_0^R \sqrt{I_0(r)} \exp[i\varphi(r)] \exp\left(i \frac{kr^2}{2z}\right) J_0\left(k \frac{r\rho}{z}\right) r dr, \quad (4)$$

где  $k=2\pi/\lambda$ ,  $\lambda$  - длина волны, а  $J_0(r)$  - функция Бесселя первого рода нулевого порядка [10].

Для комплексной амплитуды поля на оптической оси ( $\rho=0$ ) уравнение (4) принимает вид

$$W(0, z) = \frac{k}{z} \int_0^R \sqrt{I_0(r)} \exp\left(i\varphi(r) + ik \frac{r^2}{2z}\right) r dr. \quad (5)$$

Подстановка переменных в форме

$$\xi = -\frac{z_1}{z} \quad \text{и} \quad x = \frac{r^2}{2} \quad (6)$$

позволяет переписать уравнение (5) в виде

$$W(\xi) = -\frac{k}{z_1} \xi \int_0^{R^2/2} \sqrt{I_0(\sqrt{2x})} \exp[i\varphi_1(x)] \exp\left(-ik \frac{x\xi}{z_1}\right) dx, \quad (7)$$

где  $\varphi_1(x) = \varphi(\sqrt{2x})$ .

Как следует из формулы (7) задача фокусировки в продольный отрезок с распределением интенсивности  $I(z)$ ,  $z \in [z_1, z_2]$ , сводится к задаче расчета фазовой функции  $\varphi_I(x)$  одномерного ДОЭ, фокусирующего пучок с комплексной амплитудой  $\sqrt{I_0(\sqrt{2x})} \exp(-ikx^2/2z_1)$ ,  $x \in [0, R^2/2]$ , в поперечный отрезок с распределением интенсивности  $I(-z_1/\xi)/\xi^2$ ,  $\xi \in [-1, -z_1/z_2]$  в плоскости, расположенной на расстоянии  $z_1$  от апертуры одномерного ДОЭ. Используя различные методы расчета фазовой функции  $\varphi_I(x)$  одномерного ДОЭ можно получить различные решения задачи фокусировки в продольный отрезок.

В рамках геометрического приближения фазовую функцию одномерного ДОЭ можно найти из решения следующей системы уравнений [11,12]

$$\begin{cases} \varphi_1(x) = \varphi(x) - \varphi_0(x) \\ \frac{d\varphi(x)}{dx} = \frac{k}{f}(\xi - x) \\ \frac{I_0(x)}{I_1(\xi)} = \frac{d\xi}{dx}, \quad x \in [x_0, x_1], \quad \xi \in [\xi_0, \xi_1], \end{cases} \quad (8)$$

где  $\varphi_0(x)$  - фазовая функция освещающего пучка,  $f$  - расстояние до плоскости фокусировки,  $I_0(x)$  - интенсивность освещающего пучка,  $I_1(\xi)$  - требуемое распределение интенсивности в плоскости фокусировки.

В частности, при фокусировке плоского пучка в продольный отрезок с постоянной интенсивностью уравнения (6) и (8) дают фазовую функцию ДОЭ в форме

$$\varphi(r) = \frac{-kR^2}{2L} \ln \left[ \frac{r^2 L}{R^2 z_1} + 1 \right], \quad (9)$$

где  $L = z_2 - z_1$ .

При  $L/z_1 \ll 1$  использование аппроксимации  $\ln(1+x) \approx x - x^2/2$  приводит уравнение (9) к виду

$$\varphi(r) = \frac{-kr^2}{2z_1} + \frac{kr^4 L}{4R^2 z_1^2}. \quad (10)$$

Фазовая функция (10) соответствует фазовой функции тонкой линзы с введенной сферической абберацией.

Следует заметить, что приближение геометрической оптики для расчета  $\varphi_I(x)$  дает уравнения (9) и (10), которые совпадают с фазовыми функциями фокусаторов, описанных в работах [4-7]. В связи с этим в дальнейшем изложении ДОЭ, определяемые уравнениями (9) и (10), будем называть фокусаторами.

Рассмотрим также получение фазовой функции  $\varphi_I(x)$  на основе использования итерационного алгоритма Герчберга-Секстона [13] или одной из его модификаций [7,14,15], позволяющих улучшить геометрические решения (9) и (10).

В работе [16] сообщается о расчете "квазипериодических" ДОЭ, близких по своим функциональным свойствам к физическим голограммам, так как каждый период апертуры таких ДОЭ формирует полную фокальную область. При фокусировке сходящегося сферического пучка фазовая функция  $\varphi_I(x)$ ,  $x \in [x_0, x_1]$ , одномерного квазипериодического ДОЭ соответствует  $K$ -раз повторенной фазовой функции  $\varphi_p(x)$ ,  $x \in [0, (x-x_0)/K]$ , которая обеспечивает фокусировку в требуемый отрезок. Для каждого периодического повторения вводится свой постоянный фазовый сдвиг [15]

$$\varphi_i = \frac{\pi i^2}{K}, \quad i = 0, \dots, K-1, \quad (11)$$

$K$  - четное.

Таким образом, фазовая функция квазипериодического ДОЭ имеет вид

$$\varphi_I(x) = \varphi_p \left( x - x_1 - \alpha \operatorname{int} \left[ \frac{x - x_1}{\alpha} \right] \right) + \frac{\pi}{K} \operatorname{int} \left[ \frac{x - x_1}{\alpha} \right]^2 \quad (12)$$

где  $\alpha = (x_2 - x_1)/K$ , а  $\operatorname{int}[x]$  есть целая часть  $x$ .

Функция  $\varphi_p(x)$ ,  $x \in [0, \alpha]$ , в уравнении (12) может быть получена аналитически на основе решения системы (8) или численно - используя итерационный алгоритм Герчберга-Секстона.

Используя функцию  $\varphi_p(x)$ , полученную на основе решения системы (8), можно найти фазовую функцию ДОЭ, фокусирующего плоский пучок в продольный отрезок:

$$\varphi(r) = \frac{-kR^2}{2KL} \ln \left( \frac{LK}{R^2 z_1} \left( r^2 - \frac{R^2}{K} \operatorname{int} \left[ \frac{r^2 K}{R^2} \right] \right) + 1 \right) + \tilde{\varphi}(r) \quad (13)$$

где

$$\tilde{\varphi}(r) = \frac{\pi}{K} \operatorname{int} \left[ \frac{r^2 K}{R^2} \right]^2 \quad (14)$$

Заметим, что для  $K=1$  уравнение (13) соответствует фазовой функции фокусатора (9). Если  $L/z_1 \ll 1$  уравнение (13) может быть сведено к виду

$$\begin{aligned} \varphi(r) = & -\frac{kr^2}{2z_1} + \frac{kR^2}{2z_1 K} \operatorname{int} \left[ \frac{r^2 K}{R^2} \right] + \\ & + \frac{kLK}{4R^2 z_1^2} \left( r^2 - \frac{R^2}{K} \operatorname{int} \left[ \frac{r^2 K}{R^2} \right] \right)^2 + \tilde{\varphi}(r) \end{aligned} \quad (15)$$

Для квазипериодического ДОЭ, определяемого уравнениями (13) или (15), фазовая функция  $\varphi_p(x)$  в уравнении (12) соответствует фокусировке в отрезок длиной  $N(K)\Delta$ , где  $\Delta = 2\lambda z_1 K/R^2$  - размер дифракционного пятна, а

$$N(K) = \operatorname{int} \left[ \frac{LR^2}{2\lambda z_1 K} \right] \quad (16)$$

Использование геометрического решения для  $\varphi_p(x)$  в уравнении (12) возможно только для  $N(K) \gg 1$  (т.е. для  $N(K)=10$  или больше), что налагает ограничения на возможные значения  $K$ . При

$N(K)=1-3$  синтез квазипериодического ДОЭ становится невозможным даже с использованием итерационного расчета функции  $\varphi_p(x)$  в уравнении (12).

Проанализируем уравнение (15). При  $\tilde{\varphi}(r) \equiv 0$ , фазовая функция (15) превращается в фазовую функцию многофокусной линзы [17,18] с количеством фокусов  $N$ , определяемым формулой (16). Координаты фокусов

$$F_i = z_1 \frac{R^2}{R^2 - 2i\lambda K z_1} \quad i = 0, 1, \dots, N \quad (17)$$

Таким образом, при  $\tilde{\varphi}(r) \equiv 0$  распределение интенсивности на оптической оси соответствует  $N$  пикам с шириной соседних пиков в  $K$  раз меньшим, чем расстояние между соседними фокусами. При  $K=1$  пики сливаются, образуя отрезок вдоль оптической оси. Аналогичным образом дифракционная решетка обеспечивает разбиение фокального изображения на набор точек только при числе периодов  $K > 1$ . Функция  $\tilde{\varphi}(r)$  в (13) соответствует введению сферической аберрации в (10) для фокусировки в отрезок  $(F_i, F_{i+1})$ . Это обеспечивает формирование непрерывного распределения интенсивности вдоль оптической оси при  $K > 1$ .

Заметим, что проведенный анализ выполнен только для квазипериодических ДОЭ (13) или (15). Строгий вывод формы функции  $\tilde{\varphi}(r)$  следует из формулы (7) и метода расчета квазипериодического ДОЭ [16], фокусирующего в поперечный отрезок.

### Результаты численного моделирования

В этом разделе рассматривается численное исследование решений задачи фокусировки в продольный отрезок, полученных на основе геометрической функции (9) и квазипериодической функции (13).

Методы расчета ДОЭ, рассмотренные в предыдущем параграфе, направлены на создание требуемого распределения интенсивности на оптической оси и не управляют распределением в  $\varepsilon$ -окрестности оптической оси, что намного важнее для практического использования ДОЭ. В этой связи, чтобы охарактеризовать работу ДОЭ, будем применять следующие характеристики: среднеквадратичное отклонение  $\delta$  полученного распределения

от требуемого (СКО) и энергетическую эффективность  $E$ . Значение

$$\delta(\varepsilon) = \frac{1}{E} \left[ \frac{1}{(z_2 - z_1)} \int_{z_1}^{z_2} (E(z, \varepsilon) - \bar{E})^2 dz \right]^{1/2}$$

где

$$\bar{E} = \frac{1}{(z_2 - z_1)} \int_{z_1}^{z_2} E(z, \varepsilon) dz, \quad E(z, \varepsilon) = 2\pi \int_0^\varepsilon I(r, z) r dr$$

характеризует среднеквадратичное отклонение осевого распределения энергии  $E(z, \varepsilon)$  от среднего значения  $\bar{E}(\varepsilon)$ . Если  $\varepsilon \rightarrow 0$ ,  $\delta(\varepsilon)$  характеризует среднеквадратичное отклонение распределения интенсивности на оптической оси от среднего значения. Величина  $E(z, \varepsilon)$  характеризует энергию, приходящую в  $\varepsilon$ -окрестность оптической оси с координатой  $z$ , в то время как значение

$$E(\varepsilon) = \bar{E}(\varepsilon) / \left( 2\pi \int_0^\varepsilon I_0(r) r dr \right)$$

характеризует среднюю долю энергии освещающего пучка, фокусируемую в поперечное сечение отрезка фокусировки с радиусом  $\varepsilon$ .

Левая часть таблицы 1 содержит рассчитанные значения  $E(\varepsilon)$  и  $\delta(\varepsilon)$  [ $\varepsilon = \Delta, 2\Delta$  и  $3\Delta$ , где  $\Delta = 0,61 \cdot \lambda (z_1 + z_2) / (2R)$ ] для фокусатора с фазовой функцией (9), предназначенного для фокусировки плоского пучка в продольный отрезок с постоянным распределением интенсивности со следующими параметрами:  $\lambda = 0,63 \mu\text{м}$ ;  $z_1 = 320 \text{мм}$ ;  $z_2 = 360 \text{мм}$ ;  $R = 15 \text{мм}$ . Средняя часть таблицы 1 содержит аналогичные значения для "квазипериодического ДОЭ-1", а именно для ДОЭ с фазовой функцией (13) при  $K=2, 4$ . В правой части таблицы 1 расположены значения  $E(\varepsilon)$  и  $\delta(\varepsilon)$  для "квазипериодического ДОЭ-2" при  $K=2, 4$ , рассчитанного с использованием квазипериодической функции  $\varphi_l(x)$  (12). В этом случае функция  $\varphi_p(x)$  в (12) рассчитывалась с использованием адаптивной модификации алгоритма Герчберга-Секстона [7] с использованием в качестве начального приближения геометрической функции (9).

Таблица 1.

Энергетическая эффективность  $E(\varepsilon)$  и среднеквадратичное отклонение  $\delta(\varepsilon)$  для фокусатора и для квазипериодических ДОЭ 1 и 2.

$\varepsilon$	Фокусатор		Квазипериодический ДОЭ-1				Квазипериодический ДОЭ-2			
			K=2		K=4		K=2		K=4	
	$\delta(\varepsilon)\%$	$E(\varepsilon)\%$	$\delta(\varepsilon)\%$	$E(\varepsilon)\%$	$\delta(\varepsilon)\%$	$E(\varepsilon)\%$	$\delta(\varepsilon)\%$	$E(\varepsilon)\%$	$\delta(\varepsilon)\%$	$E(\varepsilon)\%$
$\varepsilon \ll \Delta$	29,1	-	31,0	-	35,3	-	12,5	-	11,1	-
$\Delta$	77,8	1,8	50,1	1,9	49,9	1,8	38,9	1,7	38,0	1,8
$2\Delta$	65,6	3,6	50,8	3,7	53,3	3,7	44,6	3,3	42,9	3,6
$3\Delta$	59,3	5,3	41,8	5,4	40,3	5,4	36,5	4,8	32,2	5,3

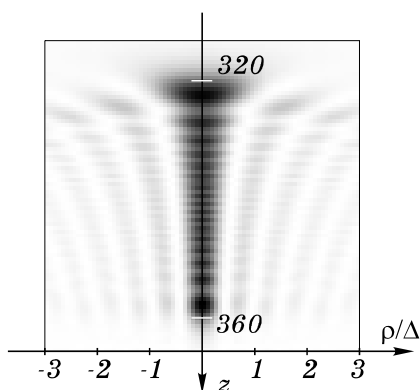
Анализ данных таблицы 1 показывает, что фокусатор (9) с осевой неравномерностью распределе-

ния интенсивности в 29% имеет значительную неравномерность распределения энергии от 77% до

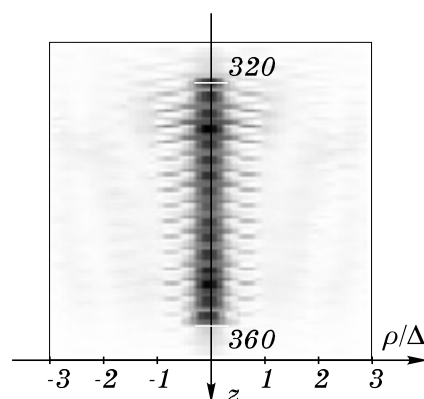
59% для  $\varepsilon = \Delta$ ,  $2\Delta$  и  $3\Delta$  соответственно. Для квазипериодического ДООЭ-1 неравномерность распределения интенсивности вдоль оптической оси больше и составляет 31% при  $K=2$  и 35% при  $K=4$ . Большая неравномерность осевого распределения интенсивности для квазипериодического ДООЭ-1 обусловлена ростом погрешности геометрического решения (9) с увеличением  $K$ . В то же время неравномерность распределения энергии  $E(z, \varepsilon)$  для квазипериодических ДООЭ в 1,4-1,6 раз меньше, чем для фокусаторов. Для квазипериодических ДООЭ-2 по сравнению с квазипериодическими ДООЭ-1 неравномерность распределения интенсивности вдоль оптической оси примерно в три раза меньше при значительно меньшем (в 1,2-1,3 раза) снижении неравномерности распределения энергии  $E(z, \varepsilon)$ . Энергетическая эффективность  $E(\varepsilon)$  приблизительно одинакова для всех исследованных оптических элементов и лежит в пределах от 1,7% до 1,9% при  $\varepsilon = \Delta$  и от 4,8% до 5,4% при  $\varepsilon = 3\Delta$ .

На рисунках 2 - 4 приведены полутоновые распределения интенсивности  $I(\rho, z)$  для фокусатора и квазипериодических ДООЭ 1 и 2 при  $K=4$ . Рис.2 демонстрирует значительное размывание поля в начале отрезка с энергией, в основном сконцентрированной в пределах фокального пятна шириной от  $1,5\Delta - 2\Delta$  в начале отрезка до  $\Delta$  в конце отрезка. Поля на рисунках 3 и 4 имеют периодическую структуру. Полученный результат соответствует анализу работы квазипериодического ДООЭ, приведенному выше (в предыдущем разделе).

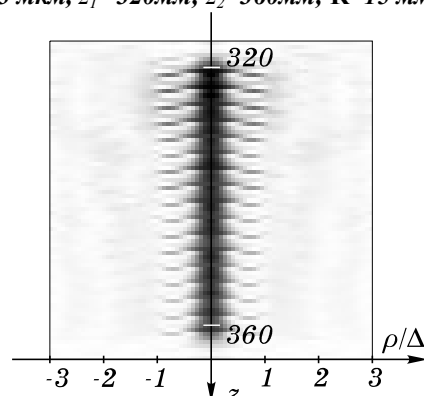
При  $\tilde{\varphi}(r) \equiv 0$  ДООЭ-1 с фазовой функцией (13) соответствует многофокусной линзе (см. Рис. 5). Функция  $\tilde{\varphi}(r)$ , уравнение (14), соответствует введению сферической aberrации и обеспечивает формирование структуры фокального поля близкой к структуре поля от фокусатора. Число периодов поля  $N$  обратно пропорционально  $K$  и определяется уравнением (16); при  $K=4$  и исследуемых параметрах (Рис.2-5)  $N=16$ .



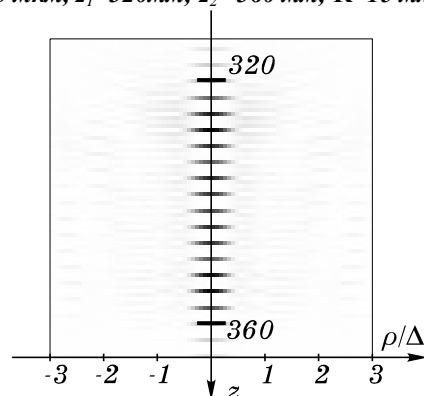
**Рис.2. Полутоновое распределение интенсивности в меридиональном сечении  $(\rho, z)$  фокальной плоскости фокусатора с параметрами:  $\lambda=0,63$  мкм,  $z_1=320$  мм;  $z_2=360$  мм;  $R=15$  мм.**



**Рис.3. Полутоновое распределение интенсивности в меридиональном сечении  $(\rho, z)$  фокальной плоскости квазипериодического ДООЭ-1 с параметрами:  $\lambda=0,63$  мкм,  $z_1=320$  мм;  $z_2=360$  мм;  $R=15$  мм;  $K=4$ .**



**Рис.4. Полутоновое распределение интенсивности в меридиональном сечении  $(\rho, z)$  фокальной плоскости квазипериодического ДООЭ-2 с параметрами:  $\lambda=0,63$  мкм,  $z_1=320$  мм;  $z_2=360$  мм;  $R=15$  мм;  $K=4$ .**



**Рис.5. Полутоновое распределение интенсивности в меридиональном сечении  $(\rho, z)$  фокальной плоскости квазипериодического ДООЭ-1 (Рис.3) при  $\tilde{\varphi}(r) \equiv 0$  в уравнении (13).**

Таким образом, значение  $K$  влияет на структуру поля, формируемую квазипериодическими ДООЭ. В то же время погрешность геометрического и итерационного расчета функции  $\varphi_p(x)$  в (12) увеличивается с ростом  $K$ . Из сказанного следует, что значение  $K$  можно рассматривать как дополнительный оптимизационный параметр расчета ДООЭ, обеспечивающий возможность оптимизации  $E(\varepsilon)$  и  $\delta(\varepsilon)$  при заданном  $\varepsilon$ . Например, если  $\varepsilon=2\Delta$ , квазипериодический ДООЭ-1

обеспечивает более равномерное распределение энергии при  $K=2$ , чем при  $K=4$ . В то же время, если  $\varepsilon=3\Delta$ , квазипериодический ДОЭ-2 дает более высокую эффективность при  $K=4$ , чем при  $K=2$ .

### Заключение

Получены и проанализированы квазипериодические решения задачи фокусировки в продольный отрезок. Квазипериодический ДОЭ может рассматриваться как набор концентрических колец, каждое из которых формирует весь отрезок фокусировки.

Численные исследования продемонстрировали лучшие показатели фокусировки для квазипериодических ДОЭ по сравнению с фокусаторами. Аналитически рассчитанный квазипериодический ДОЭ-1 обеспечивает формирование распределения энергии в  $\varepsilon$ -окрестности отрезка оптической оси, которое в 1,4 - 1,5 раза равномернее аналогичного распределения для фокусаторов. Квазипериодический ДОЭ-2, рассчитанный с использованием итерационного алгоритма Герчберга-Секстона, обеспечивает дополнительное уменьшение неравномерности распределения энергии  $E(z,\varepsilon)$  вдоль отрезка фокусировки в 1,2 - 1,3 раза по сравнению с ДОЭ-1.

### Благодарность

Работа выполнена в рамках Государственной научно-технической программы "Наукоемкие технологии" при поддержке Министерства науки и технической политики РФ. Авторы выражают благодарность А.Е. Царегородцеву, С.И.Харитонову, Я.Е. Тахтарову и С.В. Смагину за помощь в подготовке настоящей статьи.

### Литература

1. Laser plasmas optically pumped by focusing with axicon a  $\text{CO}_2$ -TEA laser beam in a high-pressure gas / Tremblay R., D'Astons Y., Roy G., Blanshard M. // *Optics Communications*. - 1979. - Vol.28, No 2. - P.193-196.
2. Brenden B.V., Russel J.T. Optical playback apparatus focusing system for producing a prescribed energy distribution along an axial focal zone // *Applied Optics*. - 1984. - Vol.23, No 19. - P.3250-3253.
3. Michaltsova I.A., Nalivaiko V.I., Soldatenkov I.S. Kinoform axicon // *Optik*. - 1984. - Vol.67, No 3. - P.267-270.
4. Пальчикова И.Г. Киноформные оптические элементы с увеличенной глубиной фокуса // *Компьютерная оптика*. - М.: МЦНТИ, 1989. - Вып.6. - С.9-19.

5. Фокусировка когерентного излучения в заданную область пространства с помощью синтезированных на ЭВМ голограмм / Голуб М.А., Карпеев С.В., Прохоров А.М., Сисакян И.Н., Соифер В.А. // *Письма в ЖТФ*. - 1981. - Т.7, вып.10. - С.618-623.

6. Вычислительный эксперимент с элементами плоской оптики / Голуб М.А., Казанский Н.Л., Сисакян И.Н., Соифер В.А. // *Автометрия*. - 1988. - No 1. - С. 70-82.

7. Khonina S.N., Kotlyar V.V., Soifer V.A. Calculation of the focusators into a longitudinal line-segment and study of a focal area // *Journal of Modern Optics*. - 1993. - Vol.40. - P.761-769.

8. Борн М., Вольф Э. Основы оптики. - М.: Наука, 1973. - 720 с.

9. Kathuria Y.P. Computer modeling of three-dimensional Fresnel-diffraction pattern at circular, rectangular and square apertures // *Optica Applicata*. - 1984. - Vol. 14, No 4. - P.509-514.

10. Янке Е., Эмде Ф., Леш Ф. Специальные функции (формулы, графики, таблицы). - М.: Наука. - 1968. - 344с.

11. Golub M.A., Sisakian I.N., Soifer V.A. Infra-red radiation focusators // *Optics and Lasers in Engineering*. - 1991. - Vol.15, No 5. - P.297-309.

12. Метод согласованных прямоугольников для расчета фокусаторов в плоскую область / Голуб М.А., Досколович Л.Л., Казанский Н.Л., Сисакян И.Н., Соифер В.А., Харитонов С.И. // *Компьютерная оптика*. - М.: МЦНТИ, 1992. - Вып.10-11. - С.100-110.

13. Gerchberg R.W., Saxton W.D. A practical algorithm for the determination of phase from image and diffraction plane pictures // *Optik*. - 1972. - Vol.35. - P.237-246.

14. Fienup J.R. Iterative method applied to image reconstruction and to computer-generated holograms // *Optical Engineering*, 1980. - Vol.19. - P.297-303.

15. Kotlyar V.V., Nikolsky I.V., Soifer V.A. Adaptive iterative algorithm for focusators synthesis // *Optik*. - 1991. - Vol.88, No 1. - P.17-19.

16. Березный А.Е. Квазипериодические оптические элементы // *Компьютерная оптика*. - М.: МЦНТИ, 1989. - Вып.6. - С.19-23.

17. Computer generated diffractive multi-focal lens / Golub M.A., Doskolovich L.L., Kazanskiy N.L., Kharitonov S.I., Soifer V.A. // *Journal of Modern Optics*. - 1992. - Vol.39, No 6. - P.1245-1251.

18. Special diffractive lenses / Doskolovich L.L., Golub M.A., Kazanskiy N.L., Soifer V.A., Usplenjev G.V. // *Proceedings SPIE*. - 1993. - Vol.1780. - P.393-402.

# Analysis of quasiperiodic and geometric optical solutions of the problem of focusing into an axial segment

*L.L. Doskolovich, N.L. Kazansky, V.A. Soifer*

## *Abstract*

In this paper, we propose analytical and iterative methods for the design of new “quasiperiodic” DOEs focusing a beam into a segment of an optical axis. On the basis of a computational experiment, a comparative analysis of the efficiency of quasiperiodic and geometric solutions of the problem of focusing into an axial segment is performed.

*Citation:* Doskolovich LL, Kazansky NL, Soifer VA. Analysis of quasiperiodic and geometric optical solutions of the problem of focusing into an axial segment. *Computer Optics* 1996; 16: 4-8.

## *References*

- [1] Tremblay R, D'Astons Y, Roy G, Blanshard M. Laser plasmasoptically pumped by focusing with axicon a CO<sub>2</sub>-TEA laser beam in a high-pressure gas. *Optics Communications*; 1979; 28(2): 193-196.
- [2] Brenden BB, Russel JT. Optical playback apparatus focusing system for producing a prescribed energy distribution along an axial focal zone. *Applied Optics*; 1984; 23(19): 3250-3253.
- [3] Michaltsova IA, Nalivaiko VI, Soldatenkov IS. Kinoform axicon; *Optik*; 1984; 67(3): 267-270.
- [4] Palchikova IG. Kinoforms with increased depth of focus. *Computer Optics*; Moscow: ICSTI; 1989; 6: 9-19.
- [5] Golub MA, Karpeev SV, Prokhorov AM, Sisakyan IN, Soifer VA. Focusing coherent radiation in a given region of space with the help of computer generated holograms. *Sov. Tech. Phys. Lett.*; 1981; 7(10): 618-623.
- [6] Golub MA, Kazansky NL, Sisakyan IN, Soifer VA. Computational experiment with plane optical elements. *Avtometriya*; 1988; 1: 70-82.
- [7] Khonina SN, Kotlyar VV, Soifer VA. Calculation of the focusators into a longitudinal line-segment and study of a focal area. *Journal of Modern Optics*; 1993; 40: 761-769.
- [8] Born M, Wolf E. *Basics of optics*; Moscow: Nauka Publisher; 1973.
- [9] Kathuria YP. Computer modeling of threedimensional Fresnel-diffraction pattern at circular, rectangular and square apertures. *Optica Applicata*; 1984; 14(4): 509-514.
- [10] Yamke E, Emde F, Lesh F. *Special Functions (Formulas, Graphs, Tables)*; Moscow: Nauka Publisher; 1968: 344.
- [11] Golub MA, Sisakyan IN, Soifer VA. Infra-red radiation focusators. *Optics and lasers in engineering*; 1991; 15(5): 297-309.
- [12] Golub MA, Doskolovich LL, Kazansky NL, Sisakyan IN, Soifer VA, Kharitonov SI. Method of matched rectangles for designing focusators to flat areas. *Computer optics*; Moscow: ICSTI; 1992; 10-11: 100-110.
- [13] Gerchberg RW, Saxton WD. A practical algorithm for the determination of phase from image and diffraction plane pictures. *Optik*; 1972; 35: 237-246.
- [14] Fienup JR. Iterative method applied to image reconstruction and to computer-generated holograms. *Optical Engineering*; 1980; 19: 297-303.
- [15] Kotlyar VV, Nikolsky IV, Soifer VA. Adaptive iterative algorithm for focusators synthesis. *Optik*; 1991; 88(1): 17-19.
- [16] Berezny AE. Quasiperiodic optical elements. *Computer optics*; Moscow: ICSTI; 1989; 6: 19-23.
- [17] Golub MA, Doskolovich LL, Kazansky NL, Kharitonov SI, Soifer VA. Computer generated diffractive multi-focal lens. *J.Mod.Opt.*; 1992; 39(6): 1245-1251.
- [18] Doskolovich LL, Golub MA, Kazansky NL, Soifer VA, Uspleniev GV. Special diffractive lenses. *SPIE Proceedings*; 1993; 1780: 393-402.